

hs_phys_probs 002

詹有丘

第 1 题 太空跳绳

一根不可伸长的长度为 l , 质量为 m 的均质软绳, 两端固定在间隔为 b 的两点. 绳子以两个固定点的连线为轴以匀角速度 ω 转动. 忽略重力的影响而只考虑离心力. 转动过程中绳子的形状保持为一个平面图形不变. (本题可以以积分及隐函数形式给出隐式解.)

- (1) 用平面坐标系中的方程描述绳子的形状.
- (2) 求绳子的动能.
- (3) 求固定点处对绳子的拉力的大小.

第 2 题 地铁站闸机

某地铁站的出入站闸机采用三辊闸设计. 三辊闸是这样一种装置: 考虑三维空间中的三根长度均为 l 的细硬轻杆, 每根杆都有一段被固定在点 O 处, 且它们两两之间的夹角被固定为 α . 显然存在一条过 O 的轴 z 使得三辊闸绕 z 轴有 $\frac{2\pi}{3}$ 旋转对称. z 轴与地面的夹角被适当地选取, 以至于三辊闸在初始状态可以与地面达成这样一种相对位形: 其中一根杆与地面平行, 另外两根杆的自由端的连线也与地面平行. 有一堵固定在地面上的墙, 其位置满足: 在初始状态下, 三辊闸的水平杆垂直于墙, 且墙面紧贴在水平杆的自由端. 将通过闸机的人简化为刚性长方体. 人通过闸机的过程中, 长方体推动三辊闸绕 z 轴转动, 长方体的一个面紧贴地面, 另一个面紧贴墙面. 长方体足够高.

- (1) 求满足以下条件的长方体的最大宽度 a_0 : 人能完全通过闸机, 且长方体的厚度可以任意大.
- (2) 接上问, 若长方体的宽度 $a > a_0$, 求满足以下条件的长方体的最大横截面积: 人能完全通过闸机.
- (3) 若长方体的宽度为 a , 人在完全通过闸机的过程中需要克服三种摩擦: 来自墙面和地面的滑动摩擦力 (大小恒定为 f), 来自杆的滑动摩擦力 (摩擦系数为 μ), 来自三辊闸转轴的滑动摩擦力矩 (大小恒定为 K). 求人在缓慢地完全通过闸机的过程中, 来自杆的滑动摩擦耗散的能量为多少.

第 3 题 Hohmann 转移轨道

质量为 m 的物体一开始绕着质量为 $M \gg m$ 的星体在半径为 r_1 的圆轨道上运动. 某时其瞬间加速, 使速度方向不变, 速率增大 Δv_1 , 进入椭圆轨道. 在远心点处, 其再次瞬间加速, 使速度方向不变, 速率增大 Δv_2 , 进入半径为 $r_2 = x r_1$ 的圆轨道上运动. 证明使 $\Delta v_1 + \Delta v_2$ 最大的 x 为 $5 + 4\sqrt{7} \cos\left(\frac{1}{3} \arctan \frac{\sqrt{3}}{37}\right)$.

第 4 题 电容势函数

有一平行板电容器. 定义变量 X 为极板间距, Q 为一个极板上的电荷量大小, F 为极板间作用力, V 为极板间的电势差. 电容 $C(X)$ 是已知函数 (不一定是反比例函数). 定义势函数 U 为电容器储存的能量.

- (1) 证明 $dU = V dQ - F dX$.
- (2) 证明 $\left(\frac{\partial V}{\partial F}\right)_Q = \left(\frac{\partial X}{\partial Q}\right)_F$.
- (3) 若 $C(X)$ 是反比例函数, 在 F - X 图中分别作出等 V 过程和等 Q 过程的图像.

第 5 题 张拉整体

张拉整体 (tensegrity) 是一个由一些互不触碰的受压结构 (刚体) 以及连接它们的受拉结构 (绳) 组成的稳定结构. 其在建筑学, 工程学, 生物学等领域都有应用. 图 1 (Cmglee, 2012) 是一个例子, 其由顶部和底部各一个边长为 a 的正 n 边形 (图中 $n = 4$) 组成. 记底面的正 n 边形为多边形 $A_0 \cdots A_{n-1}$, 顶面上的正 n 边形为多边形 $B_0 \cdots B_{n-1}$. A_0 与 A_n 是同一个点, B_0 与 B_n 是同一个点. 对每个 j , 用长度为 b 的轻绳连接 $A_j B_j$, 用长度为 l 的轻杆连接 $A_j B_{j+1}$.

(1) 多边形 $A_0 \cdots A_{n-1}$ 在旋转一定角度 (旋转的方向与 A_j 随 j 变化的环绕方向相同) 之后, 可以平移至与多边形 $B_0 \cdots B_{n-1}$ 重合. 求该转角的最小正值.

(2) 记 $T(PQ)$ 为连接 P, Q 两点的绳或杆上的力, 正值表示张力, 负值表示压力. 已知, 对每个 j , $T(A_j A_{j+1}) = T_0$. 对每个 j , 求 $T(A_j B_j)$ 和 $T(A_j B_{j+1})$.

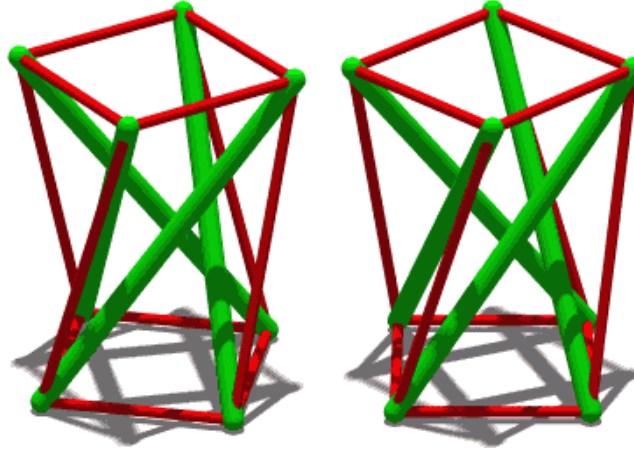


图 1

第 6 题 彩色视觉

视觉感受器 (眼睛) 中对彩色视觉至关重要的生物基础是视锥细胞 (cone cell). 在光线充足的情况下, 视锥细胞比视杆细胞 (rod cell) 更加活跃, 我们因此不考虑视杆细胞对视觉带来的影响. 某种动物的视网膜上有 n 种视锥细胞, 从而可以产生 n 色视觉 (n -chromacy) (人类有三色视觉 (trichromacy), 梅花雀有四色视觉 (tetrachromacy)¹, 青凤蝶 (*Graphium sarpedon*) 有十五色视觉²). 第 j 种视锥细胞对波长为 λ 的光的吸收率为 $f_j(\lambda)$, 其中 f_j 看作 $\mathbf{f}: (0, +\infty) \rightarrow \mathbb{R}$ 的第 j 个分量. 第 j 种视锥细胞在某种光刺激下的响应程度正比于它从中吸收的总功率. 视锥细胞在受到刺激后, 会将响应信号以电信号的形式告诉大脑, 大脑即可获得视网膜上某处的各种视锥细胞的响应程度 $\mathbf{c} \in [0, +\infty)^n$, 其中 \mathbf{c} 的分量 c_j 为第 j 种视锥细胞的响应程度. 从而颜色可以与 $C := [0, +\infty)^n$ 中的向量一一对应.

规定两种变换: $T_u: c_j \mapsto uc_j$ ($u > 0$) 以及 $S_v: c_j \mapsto v(c_j - l) + l$ ($0 < v \leq \frac{l}{c_{\min}}$), 其中 l 是 \mathbf{c} 中最小分量 c_{\min} 和最大分量 c_{\max} 的平均值. 我们认为在这两种变换下 \mathbf{c} 的色相保持不变. 我们关于色相建立一个等价关系: $\mathbf{c} \sim \mathbf{c}'$ 当且仅当存在 u, v , 使得 $\mathbf{c} = T_u S_v \mathbf{c}'$.

设某种设备 (不妨称为彩灯) 能发出固定的 n 种单色光, 其波长分别为 λ_k . 它能以任意不同的功率合成并发出这些单色光, 产生对视锥细胞的光刺激.

¹Hart N. S., Partridge J. C., Bennett A. T., Cuthill I. C.. "Visual pigments, cone oil droplets and ocular media in four species of estrildid finch". *Journal of Comparative Physiology A*. Jul-Aug, 2000; **186** (7-8): 681-694. doi: 10.1007/s003590000121. PMID: 11016784. S2CID: 19458550.

²Chen P., Awata H., Matsushita A., Yang E., Arikawa K.. "Extreme Spectral Richness in the Eye of the Common Bluebottle Butterfly, *Graphium sarpedon*". *Frontiers in Ecology and Evolution*, vol. 4, pp. 18. Mar 8, 2016. doi: 10.3389/fevo.2016.00018. ISSN: 2296-701X.

彩虹中包含了所有的单色光.

(1) 设某个光刺激中能量随波长的分布为已知函数 $g(\lambda)$, 求该光刺激代表的颜色.

(2) 求彩灯能产生的所有的颜色的集合 $L \subseteq C$.

(3) 求彩虹中所有的颜色的集合 $R \subseteq C$.

(4) 若存在一组 $\{\lambda_k\}$, 使得 $L = C$. 求 f_j 需要满足的条件.

(5) 是否对于任意的 $\mathbf{c} \in C$, 存在 $\mathbf{c}' \in R$, 使得 $\mathbf{c} \sim \mathbf{c}'$? 若是, 给出构造 \mathbf{c}' 的方法. 若否, 是否对于几乎所有的 $\mathbf{c} \in C$, 不存在这样的 \mathbf{c}' ?

(6) 是否对于任意的 $\mathbf{c} \in C$, 存在 $\mathbf{c}' \in L$, 使得 $\mathbf{c} \sim \mathbf{c}'$? 若是, 给出构造 \mathbf{c}' 的方法. 若否, 是否对于任意的 $\mathbf{c} \in R$, 存在 $\mathbf{c}' \in L$, 使得 $\mathbf{c} \sim \mathbf{c}'$?

第 7 题 互 LC 震荡

我们知道电感有自感和互感. 但是, 虽然我们有“互电容”的概念, 其并不能与互感很好地对应. 我们现在来构造一种与互感相对应的概念“互容”: 考虑四块的面积为 S 的平行极板, 依次编号为 a-d. 极板 a 和极板 c 看作一个电容器, 极板间距为 d_1 ; 极板 b 和极板 d 看作一个电容器, 极板间距为 d_2 ; 极板 b 和极板 c 的间距为 d .

(1) 求这两个电容器之间的互容系数.

(2) 设有两个 LC 电路, 电路中分别有电容 C_1 与 C_2 , 电感 L_1 与 L_2 . 两个电容之间的互容系数为 N , 两个电感之间的互感系数为 M . 设在 $t = 0$ 时两个电容分别带电 Q_{10} 与 Q_{20} , 求任意时刻 t 时两个电容所带的电荷量 $Q_1(t)$ 与 $Q_2(t)$.

第 8 题 球套黑球

本题中提到的黑体都是余弦辐射体. 将一个热容为 C 的半径为 r 的均匀的球形的黑体 A 放在一个半径为 R 的均匀的薄球壳 B 内. 两个球心的距离为 $d < R - r$. 在 $t = 0$ 时, A 的温度为 T_0 . A 内部的热传导很快.

(1) B 是热容为 D , 初始温度为 S_0 的黑体. 求 t 时刻 A 的温度 $T(t)$.

(2) B 的内壁是可以完全反射热辐射的镜面. 求 t 时刻 A 的温度 $T(t)$.

参考答案

第 1 题 太空跳绳

(1) 因为绳子的形状是具有最小势能的形状, 所以本题即求解最优化问题

$$\min_{y \in C^1[-b/2, b/2]} \int_{-b/2}^{b/2} -\frac{1}{2} \cdot \frac{m}{l} \sqrt{1+y'^2} dx \cdot \omega^2 \cdot y^2 \quad (1)$$

$$\text{s.t. } y(-b/2) = y(b/2) = 0, \quad (2)$$

$$\int_{-b/2}^{b/2} \sqrt{1+y'^2} dx = l. \quad (3)$$

在目标函数中带上 Lagrange 乘子, 可以略去约束条件式 3, 而目标变为

$$\max_{y \in C^1[-b/2, b/2]} \int_{-b/2}^{b/2} y^2 \sqrt{1+y'^2} dx - \lambda \left(\int_{-b/2}^{b/2} \sqrt{1+y'^2} dx - l \right) \quad (4)$$

$$\text{s.t. } y(-b/2) = y(b/2) = 0. \quad (5)$$

定义 Lagrangian

$$\mathcal{L} := (y^2 - \lambda) \sqrt{1+y'^2}. \quad (6)$$

代入 Euler-Lagrange 方程后化简可得

$$2y(1+y'^2) = (y^2 - \lambda)y''. \quad (7)$$

进行变换 $p := y'$ 后可得

$$2y(1+p^2) = (y^2 - \lambda)p \frac{dp}{dy}. \quad (8)$$

分离变量并积分可得

$$\ln(1+p^2) = 2 \ln \frac{a^2 - y^2}{a^2 - y_0^2}, \quad (9)$$

其中 $y_0 := y(0) > 0$, $a := \sqrt{\lambda} > y_0$. 回代 $p = y'$, 再次分离变量并积分可得

$$\int_{y_0}^y \frac{dy}{\sqrt{\left(\frac{a^2 - y^2}{a^2 - y_0^2}\right)^2 - 1}} = \pm x. \quad (10)$$

式 10 给出描述绳子形状的方程.

约束条件 $y(-b/2) = y(b/2) = 0$ 给出

$$b = 2 \int_0^{y_0} \frac{dy}{\sqrt{\left(\frac{a^2 - y^2}{a^2 - y_0^2}\right)^2 - 1}}. \quad (11)$$

绳子上的长度微元

$$ds = \sqrt{1+y'^2} dx = \frac{a^2 - y^2}{a^2 - y_0^2} \frac{dy}{\sqrt{\left(\frac{a^2 - y^2}{a^2 - y_0^2}\right)^2 - 1}} = \frac{dy}{\sqrt{1 - \left(\frac{a^2 - y_0^2}{a^2 - y^2}\right)^2}}. \quad (12)$$

从而

$$l = 2 \int_0^{y_0} \frac{dy}{\sqrt{1 - \left(\frac{a^2 - y_0^2}{a^2 - y^2}\right)^2}}. \quad (13)$$

式 11 与式 13 隐式给出了式 10 中的参数 a 和 y_0 .

(2)

$$E_k = \int_{x=-b/2}^{b/2} \frac{1}{2} \cdot \frac{m}{l} ds \cdot \omega^2 y^2 = \frac{m\omega^2}{l} \int_0^{y_0} \frac{y^2 dy}{\sqrt{1 - \left(\frac{a^2 - y_0^2}{a^2 - y^2}\right)^2}}. \quad (14)$$

(3) 质心位置为

$$y_c = \frac{1}{m} \int_{x=-b/2}^{b/2} y \cdot \frac{m}{l} ds = \frac{2}{l} \int_0^{y_0} \frac{y dy}{\sqrt{1 - \left(\frac{a^2 - y_0^2}{a^2 - y^2}\right)^2}} = \frac{y_0 \sqrt{2a^2 - y_0^2}}{l}. \quad (15)$$

绳子受到的合力

$$F = m\omega^2 y_c = \frac{m\omega^2 y_0 \sqrt{2a^2 - y_0^2}}{l}. \quad (16)$$

在 $x = \pm b/2$ 处曲线的切线斜率

$$y'(\pm b/2) = \mp \tan \theta = \mp \sqrt{\left(\frac{a^2}{a^2 - y_0^2}\right)^2 - 1}, \quad (17)$$

从而固定点处对绳子的拉力大小

$$T_{\pm b/2} = \frac{F}{2 \sin \theta} = \frac{m\omega^2 y_0 \sqrt{2a^2 - y_0^2}}{2l \sqrt{1 - \left(\frac{a^2 - y_0^2}{a^2}\right)^2}} = \frac{m\omega^2 a}{2l}. \quad (18)$$

另：此题可用受力法解.

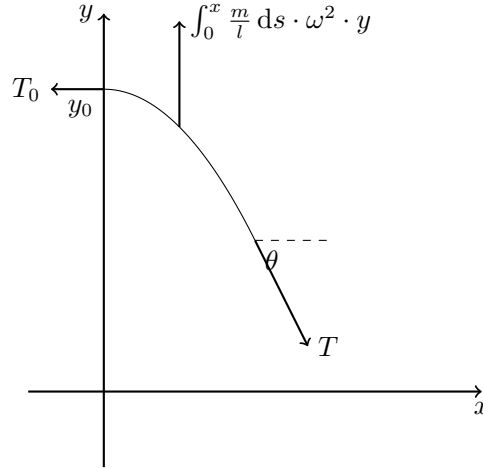


图 2

设绳子在 $x = 0$ 处的张力为水平方向 T_0 , 考虑 $[0, x]$ 上的一段绳子的受力平衡, 如图 2 所示. 考虑到 $\tan \theta = -y'$, 有

$$\int_0^x \frac{m}{l} ds \cdot \omega^2 \cdot y = -T_0 y'. \quad (19)$$

两边对 x 求导可得

$$\frac{m\omega^2}{l} \sqrt{1 + y'^2} = -T_0 y''. \quad (20)$$

变换 $p := y'$, 分离变量得

$$\frac{p dp}{\sqrt{1 + p^2}} = -\frac{m\omega^2}{T_0 l} y dy. \quad (21)$$

两边积分得

$$\sqrt{1+p^2} - 1 = -\frac{m\omega^2}{2T_0 l} (y^2 - y_0^2). \quad (22)$$

代换 $a := \sqrt{\frac{2T_0 l}{m\omega^2} + y_0^2}$ 可将式 22 变为与式 9 等价的形式.

第 2 题 地铁站闸机

第 3 题 Hohmann 转移轨道

物体的速度变化的全过程为

$$\underbrace{\sqrt{\frac{GM}{r_1}}}_{\text{圆轨道}} \xrightarrow{\Delta v_1} \underbrace{\sqrt{-\frac{2GM}{r_1+r_2} + \frac{2GM}{r_1}}}_{\text{椭圆轨道}} \rightarrow \underbrace{\sqrt{-\frac{2GM}{r_1+r_2} + \frac{2GM}{r_2}}}_{\text{椭圆轨道}} \xrightarrow{\Delta v_2} \underbrace{\sqrt{\frac{GM}{r_2}}}_{\text{圆轨道}}. \quad (1)$$

于是

$$\Delta v_1 + \Delta v_2 \propto f(x) := \sqrt{\frac{2x}{1+x}} - 1 + \sqrt{\frac{1}{x}} - \sqrt{\frac{2}{x(1+x)}}. \quad (2)$$

为了使 $\Delta v_1 + \Delta v_2$ 极大,

$$f'(x) = -\frac{1}{2}x^{-\frac{3}{2}} - \frac{1}{\sqrt{2}}x^{-\frac{1}{2}}(1+x)^{-\frac{3}{2}} + \frac{1}{\sqrt{2}}(1+2x)x^{-\frac{3}{2}}(1+x)^{-\frac{3}{2}} = 0. \quad (3)$$

在式 3 两边乘 $2x^{\frac{3}{2}}(1+x)^{\frac{3}{2}}$ 可得

$$\sqrt{2}(1+3x) - (1+x)^{\frac{3}{2}} = 0. \quad (4)$$

此方程可约化为多项式方程

$$P(x) := x^3 - 15x^2 - 9x - 1 = 0. \quad (5)$$

注意到

$$\cos 3y = \cos y (2 \cos^2 y - 1) - 2 \cos y (1 - \cos^2 y) = 4 \cos^3 y - 3 \cos y,$$

所以

$$\cos^3 \frac{y}{3} = \frac{1}{4} \left(\cos y + 3 \cos \frac{y}{3} \right).$$

令 $x^* := 5 + 4\sqrt{7} \cos\left(\frac{1}{3} \arctan \frac{\sqrt{3}}{37}\right)$, 则

$$(x^* - 5)^3 = 16 \cdot 7^{\frac{3}{2}} \left(\cos \arctan \frac{\sqrt{3}}{37} + 3 \cos\left(\frac{1}{3} \arctan \frac{\sqrt{3}}{37}\right) \right) \quad (6)$$

$$= 16 \cdot 7^{\frac{3}{2}} \left(\frac{37}{2 \cdot 7^{\frac{3}{2}}} + 3 \cdot \frac{x^* - 5}{4\sqrt{7}} \right) \quad (7)$$

$$= 84x^* - 124. \quad (8)$$

由此可得 $P(x^*) = 0$.

第 4 题 电容势函数

(1) $V dQ$ 是电源对电容所做的功, $-F dX$ 是外力对电容所做的功.

(2) 令 $H := U + FX$, 则

$$dH = V dQ + X dF. \quad (1)$$

从而

$$V = \left(\frac{\partial H}{\partial Q} \right)_F, \quad X = \left(\frac{\partial H}{\partial F} \right)_Q. \quad (2)$$

由于求偏导次序可交换, $\frac{\partial^2 H}{\partial Q \partial F} = \frac{\partial^2 H}{\partial F \partial Q}$, 因此

$$\left(\frac{\partial V}{\partial F}\right)_Q = \left(\frac{\partial X}{\partial Q}\right)_F. \quad (3)$$

(3) 设 $C(X) = \alpha/X$, 则由 $Q = CV$ 可得状态方程

$$QX = \alpha V. \quad (4)$$

内能表达式为

$$U = \frac{1}{2}QV = \frac{Q^2 X}{2\alpha}. \quad (5)$$

于是

$$F = -\left(\frac{\partial U}{\partial X}\right)_Q = \frac{Q^2}{2\alpha} = \frac{\alpha V^2}{2X^2}. \quad (6)$$

于是可以在 F - X 图作出如图 3 所示的曲线. 图 3a 与图 3b 分别是等 V 过程与等 Q 过程的图像.

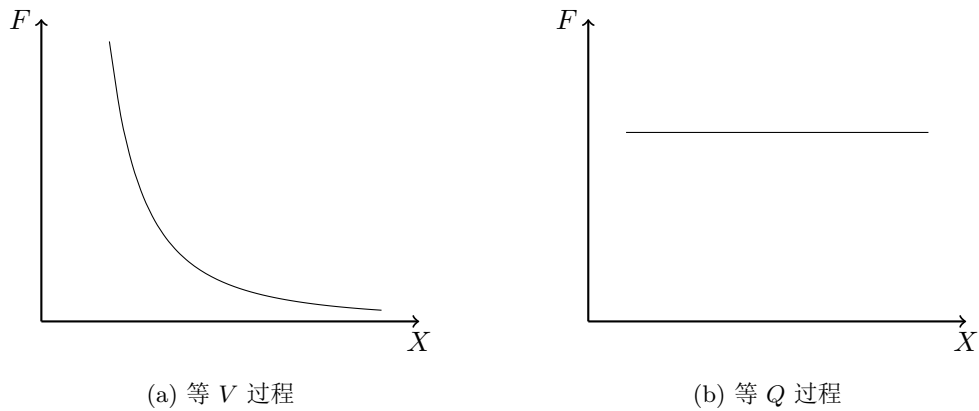


图 3

第 5 题 张拉整体

第 6 题 彩色视觉

第 7 题 互 LC 震荡

第 8 题 球套黑球